

要旨

骨材とマトリックスから成る単純な複合材料の境界面における引張付着強度を有限要素法による応力解析の結果を利用して単純な割裂試験によって推定する方法について提案し、この方法によって数種の骨材ヒメントペーストとの割裂引張付着強度を評価した。

骨材ヒメントペーストとの割裂引張付着強度は、骨材およびヒメントペーストのいずれの引張強度よりも、相当小さい。この結果は、コンクリートの破壊過程は骨材とモルタルまたはペーストの境界面から始まるこことを示唆していると考えられる。

まえがき

図-1に示すように割裂荷重を受ける試験体が单一材料であるときには、この試験体内の応力分布はShredon⁽¹⁾によつて下記のように与えられており、したがつて、破壊時のPの値を実験によつて得られれば試験体の割裂強度を推定することができきる。しかしながら、図-2に示すように、試験体が複合材料から成る場合には、これを構成する骨材やマトリックスまたはこれらの境界面における応力分布の解析的な解は未だ発表されていなゝと思われる。したがつて、破壊時のPを知つても骨材ヒマトリックスの割裂付着強度を推定でききない。骨材ヒマトリックスの境界面に沿つた応力は有限要素法によつて推定でききると考えられるが、本研究では先ず单一材料内の応力について有限要素法(FEM)による解とShredonによる解との比較を行ない、次に、骨材ヒマトリックスの境界面に沿つた応力を有限要素法によつて求め、この結果を利用して骨材ヒマトリックスとの割裂付着強度を推定した。

1 割裂荷重を受ける单一材料内の応力分布

図-1に示す試験体内的任意の点における応力はShredon⁽¹⁾によつてつきのように与えられてゐる。

$$\left. \begin{aligned} \sigma_x &= -\frac{48}{\pi} \int_0^{\infty} \left[\frac{(8 \sinh t - t \cosh t) \cosh(\alpha t) + \alpha t \sinh(\alpha t) \sinh(t/\alpha)}{\sinh(t/\alpha) + \alpha t} \right] \cdot \frac{\sin(\alpha t)}{t} \cos(\alpha t) dt \\ \sigma_y &= -\frac{48}{\pi} \int_0^{\infty} \left[\frac{(8 \sinh t + t \cosh t) \cosh(\alpha t) - \alpha t \sinh(\alpha t) \sinh(t/\alpha)}{\sinh(t/\alpha) + \alpha t} \right] \cdot \frac{\sin(\alpha t)}{t} \cos(\alpha t) dt \\ \tau_{xy} &= -\frac{48}{\pi} \int_0^{\infty} \left[\frac{(t \eta \sinh t \cosh(\alpha t) - t \cosh t \sinh(\alpha t))}{\sinh(t/\alpha) + \alpha t} \right] \cdot \frac{\sin(\alpha t)}{t} \sin(\alpha t) dt \end{aligned} \right\} \quad \text{---(1)}$$

$$\text{ここで } K = \frac{\eta}{C}, \quad \alpha = \frac{\eta}{C}, \quad \beta = \frac{\eta}{C}, \quad \gamma = \frac{P}{2C}$$

図-3は、(1)式およびFEMで求められた $\gamma = 0$ 平面における、 σ_y の分布図の一例である。なお、有限要素法では、CSTエレメントを用いた。この結果、(1)式とFEMによる結果は十分一致すると考えられる。

図-4は、複数の載荷板の巾 $2C$ に対しても(1)式によつて得られた割裂面($\gamma = 0$)における σ_y の分布状況である。また、図-5は上記と同様の σ_y をFEMによつて求めたものである。これらの結果によると、ShredonおよびFEMによる全ての分布は、 σ_y と同様、ほぼ一致していると考えられる。

割裂断面にわける σ_y は、載荷面直下で大きな圧縮応力となり、断面中央部ではほぼ一定の最大引張応力となる。今、供試体が、この引張応力によつて割裂破壊すると仮定すれば、供試体の引張強度 P は、次式によつて推定される。

$$\sigma_y = K \gamma \frac{P_{max}}{2C} \quad \text{---(2)}$$

ここに、 P_{max} は破壊時の荷重、 γ は供試体の厚さ、 $2C$ は供試体の高さ、であり、 K は η/C の大きさによる補正係数で、これらは関係は、図-6に示すとおりである。また、(2)式は供試体の長さと高さの比 L/C が2以上の場合に対する精度がよいと推定される。

2. 境界面に割裂荷重を受ける複合材料内の応力分布

図-2に示す構造における滑材とマトリックスの境界面附近における応力分布をFEMによって求めた。一般には、滑材表面が粗であるという点を考慮して、FEMの解析においては、図-7に示すように滑材だけの領域A・マトリックスだけの領域B、および、境界面を含んだストリップ部分Iに分割し、Iの領域には境界面要素⁽²⁾を導入して解析した。

図-8は、境界面に沿った応力の分布を示す。ここに示すのは滑材とマトリックスの弾性係数比 E_A/E_m である。

この分布状況は、単一材料の場合とほぼ同様のパターンである。また、解析結果によると載荷直下附近では弾性係数の小さい方の成分には大きな圧縮応力が生じ、弾性係数の大きい方の成分には、大きな引張応力が生じる。したがって、相対的に強度の低い滑材の場合には、破壊は境界面では生せず、載荷直下の滑材の部分で生じる場合も考えられる。

3. 引張付着強度の推定

図-9は、図-2の試験体の滑材とマトリックスの境界面における最大引張主応力 σ_{max} の線荷重 $\gamma (=P/2a)$ に対する割合と弾性係数比 E_A/E_m との関係を示したものである。(ただし $ZC=1.5$, $Za=0.15$, $\beta_C=0.1$)。

したがって、弾性係数が既知の滑材とマトリックスの引張付着強度は、図-9に示すような試験を行なうことによって P_{max} が得られれば、図-9に示すチャートを利用してすることによって推定される。

4. セメントペーストと滑材の引張付着強度

$w/c=0.5$ のセメントペーストと石灰岩、花崗片麻岩、中粒砂岩および繊維花崗岩の各種類の滑材との組合せ8日ににおける引張付着強度を上記の割裂試験によって求めた。

破壊は境界面において急激に起り、破壊面の滑材側にはセメントペーストの一部や被膜が付着しており、セメントペースト側にも滑材の一部が埋込まれたような状態で付着していく。

表-7は、各種滑材およびセメントペーストの弾性係数、圧縮強度、およびこれらの引張付着強度の実験結果である。なお表-7には、通常の曲げ試験によって求められた滑材とマトリックスの曲げ引張付着強度をも付記した。

割裂引張強度は曲げ引張強度の1/2～1/3程度である。試験を行った滑材のうち、石灰岩とセメントペーストの付着はもともと不良で、花崗片麻岩とセメントペーストとの付着が最ももとも秀れているようである。

曲げおよび割裂のいずれの付着強度も、滑材およびセメントペーストの引張強度よりも小さく、コンクリートにおいて、異常な空洞を除けば滑材とペーストまたはモルタルとの付着面が、いわゆる「Weakest Link」であると推定される。

結語

一般にコンクリートの引張試験は困難であるが、ここに提案した滑材とマトリックスの引張付着強度を求める方法は、有限要素法による解析が伴なうという難点はあるが、比較的簡単な圧縮型の試験であるという点が長所であろうかと考えられる。

参考文献

(1) Sneddon, I.N., "Fourier Transforms", McGraw-Hill Book Co., pp.413, 1951

(2) Ono, K., Ph.D. dissertation, University of Toronto, 1972

表-7 実験結果

材 料	弾性係数 (MPa)	圧縮強度 (MPa)	曲げ引張 付着強度(%)	割裂引張 付着強度(%)
石灰岩	3.12×10^5	1246	37.9(6.0)	8.1(1.4)
花崗片麻岩	2.58×10^5	1778	47.7(1.3)	15.8(0.7)
中粒砂岩	2.28×10^5	994	39.0(1.0)	12.8(0.5)
繊維花崗岩	2.27×10^5	1554	22.3(2.0)	11.8(1.0)
セメントペースト	1.44×10^5	588	98.7(3.9)	24.4(1.5)

()内の値は5個の測定値の標準偏差

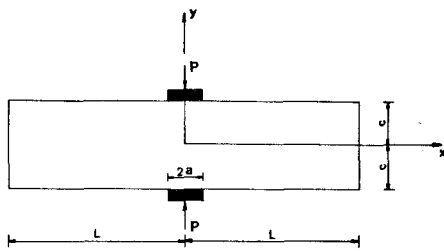


図-1 割裂荷重を受ける試験体

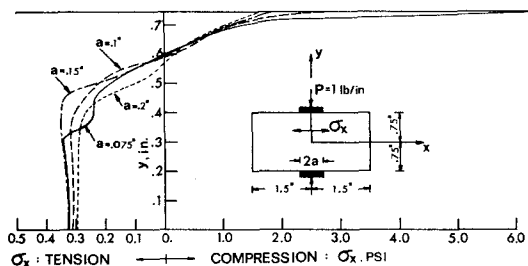


図-2 割裂引張付着試験

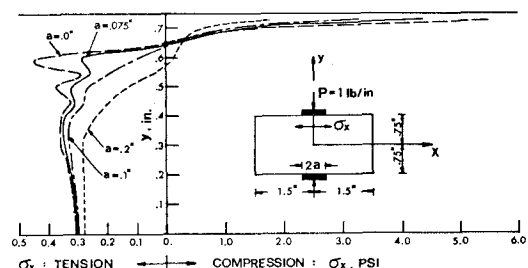


図-3 Sneddon による割裂面におけるひずみの分布図

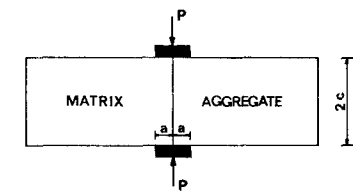


図-4 割裂荷重を受ける試験体

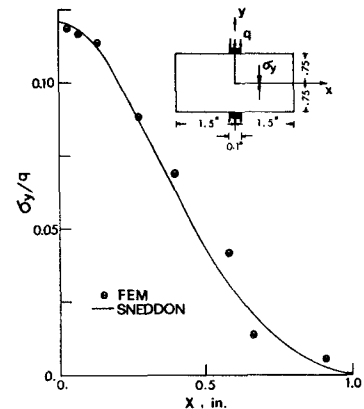


図-5 FEM による割裂面におけるひずみの分布図

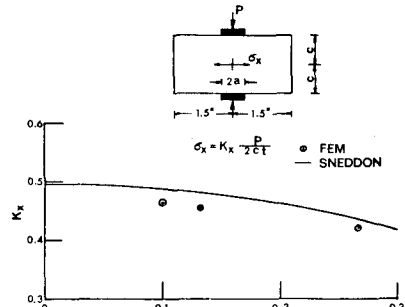


図-6 割裂試験における補正係数K_x

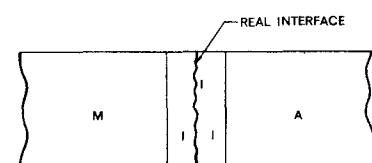


図-7 積合材料のマトリックスM、骨材A
および界面要素Iへの分割

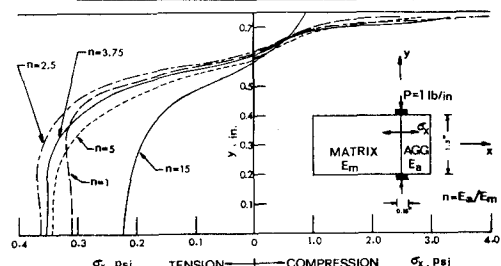


図-8 割裂荷重を受ける骨材とマトリックスの
割裂面におけるひずみの分布

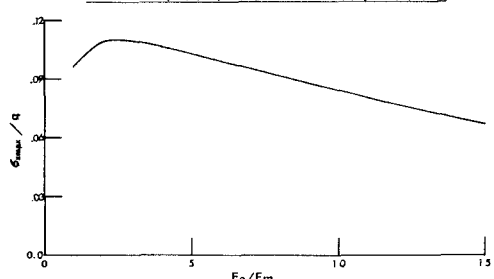


図-9 骨材とマトリックスの割裂面に直角単位
荷重当りの応力の最大値 (σ_{max}/q) と弹性係数比
との関係